

циенты корреляции по р. Иссыката составляют для июня 0,995, для июля — августа 0,980, по р. Аламедин для июня 0,998, для июля — августа 0,988.

Предварительная апробация разработанных методик показала удовлетворительные результаты, дающие возможность прогнозировать среднесуточные расходы воды по Иссыката и Аламедину с заблаговременностью 1 сут для всех месяцев (апрель—август) и с заблаговременностью 2 сут за исключением июня с относительной погрешностью до 15% (табл. 3).

Д. Х. САЛИХОВА, Л. Ф. ЛЯХОВСКАЯ

## АЭРОСИНОПТИЧЕСКИЕ УСЛОВИЯ ФОРМИРОВАНИЯ И ПРОГНОЗ СЕЛЕВЫХ ЯВЛЕНИЙ В БАССЕЙНЕ р. ЗЕРАВШАН

По активности селевой деятельности на территории Узбекистана предгорья Зеравшанской долины уступают лишь Ферганской долине. В [2] рассматривались селеобразующие синоптические процессы в целом для всей республики. В данной статье на материале наблюдений за период с 1950 по 1985 г. более подробно исследованы аэросиноптические условия, приводящие к формированию селей в Самаркандской, Бухарской, Навоийской и Джизакской областях, расположенных в бассейнах рек Зеравшан и Санзар.

Как и для предгорий Ферганской долины [3], основными селеобразующими синоптическими процессами являются холодные вторжения и образование циклонов в средней и верхней тропосфере. Селевые паводки здесь формируются при западных и северо-западных вторжениях как с предшествующим выходом циклонов (типы 1, 2, 3/10 и 1, 2, 3/5), так и без их выхода (типы 10, 5) [1]. Вероятность прохождения селевых паводков при этих процессах в наиболее селеактивном периоде (с марта по май) составляет 21—25% в первом случае и 8—11% во втором случае. Если в предгорьях Ферганской долины роль северных вторжений и заток с севера в образовании селевых паводков велика (вероятность их в мае — июне 25—40%), то в предгорьях Зеравшанской долины сели формируются при этих процессах только в мае с вероятностью всего 4% (табл. 1).

При высотном циклогенезе над западными и центральными районами Средней Азии селевые паводки чаще возникают за холодными фронтами южнокаспийских, или мургабских, циклонов (тип 8/1, 2), выходящими под интенсивной высотной фронтальной зоной (ВФЗ), окаймляющей циклон на изобарической поверхности 500 гПа ( $H_{500}$ ) или за холодным фронтом с запада или северо-запада в тылу этих циклонов (тип 8/10, 5). В более редких случаях селевые паводки формируются непосредственно

Вероятность селевых паводков с различным ущербом народному хозяйству при разных синоптических процессах в предгорьях Зеравшанской долины за 1960—1985 гг.

под влиянием самого циклона в его южной или западной частях (тип. 8). Вероятность селевых паводков при высотном циклогенезе и его разновидностях в марте — мае — от 13 до 41% (табл. 2).

В образовании селей большое значение имеет выход южнокаспийских, или мургабских, циклонов перед вторжением или по периферии высотного циклона на изобарической поверхности  $H_{500}$ . Почти в 75% всех случаев (дней) с селями, отмечался выход. За случай принимался день, когда отмечались сели в одном или нескольких саях.

Анализ синоптических процессов и вероятность селей при этих процессах позволил выявить наиболее селеобразующие синоптические процессы в каждом месяце, что отражено в табл. 1, 2.

В феврале за исследуемый период отмечалось всего 2 случая селевых паводков, вызванных выходом южнокаспийского циклона с последующим северо-западным вторжением и волновой деятельностью (табл. 2).

В марте число дней с селями увеличивается до 31. Селевые паводки с вероятностью 21% формируются при выходе южнокаспийских, или мургабских, циклонов с последующим западным вторжением, с вероятностью 13% — с последующим северо-западным вторжением. При других преобладающих синоптических процессах вероятность селей меньше. Велика вероятность (75%) селей при образовании над территорией Средней Азии на изобарической поверхности  $H_{500}$  высотного циклона.

Апрель — самый селеактивный месяц на рассматриваемой территории. Вероятность селей при всех осадкообразующих синоптических процессах увеличивается в 2—3 раза в сравнении с марта. Так, до 47% повышается вероятность их прохождения при высотных циклонах над территорией Туркмении (типы 8 и 1, 2, 7/8) и до 22% — при волновой деятельности (тип 7).

В мае основные селеобразующие синоптические процессы те же, что и в апреле, но число дней с селями и вероятность их при осуществлении синоптических процессов уменьшается, за исключением северо-западных вторжений, при которых вероятность селей в мае увеличивается до 80%. В июне — июле случаи с селями редки, и с небольшой вероятностью они проходят при высотных циклонах на изобарической поверхности  $H_{500}$  и очень редко в июне при западных вторжениях.

За период с 1950 по 1985 г. четвертая часть селей нанесла ущерб народному хозяйству и достигала критериев опасных и особо опасных явлений (ОЯ, ООЯ). Наибольшая вероятность (13—14%) разрушительных селей — в марте — мае при смещении или образовании над западными и центральными районами Средней Азии циклонов на изобарической поверхности 500 гПа, очерчиваемых одной или несколькими изогипсами (тип 8 и его разновидности), а также с вероятностью 6—10% — при западных и северо-западных вторжениях с предшествующим выходом циклонов.

Таблица 2

Повторяемость (число случаев) селевых паводков (с различным ущербом) при разных синоптических процессах в предгорьях Зеравшанской долины за 1950—1985 гг.

Месяц	Критерий опасности селевого паводка	Тип синоптического процесса								Всего	
		1, 2, 3/10	10	1, 2, 3/5	5	1, 2, 3/6	6	8	1, 2, 3/8	8/5, 6, 10	
Февраль	Без ущерба									1	1
	С ущербом		1							1	1
	Всего		1							1	2
Март	Без ущерба	3	2	1					1	3	16
	С ущербом	3							1	2	6
	ОЯ	3							1		3
	ООЯ	3							1	2	6
	Всего	12	2	1					1	5	7
									3		31
Апрель	Без ущерба	8	2	3		1	2	8	2	4	2
	С ущербом	5		2				3	1	2	13
	ОЯ	2					1	2		1	6
	ООЯ	2	1				1	7	2	1	14
	Всего	17	3	5		1	3	20	5	7	65
Май	Без ущерба	2	4	2	8	1	2	6	3	6	37
	С ущербом	1	1	2	1				2		7
	ОЯ	1		1				1			3
	ООЯ	1	1	1	1				4		8
	Всего	4	6	6	10	1	2	7	4	12	2
									2	1	55
Июнь	Без ущерба	1	1						1		2
	С ущербом	1							1		3
	ОЯ										
	ООЯ	1									1
	Всего	3	1						1		6
Июль	Без ущерба			1							1
	С ущербом							1			1
	ОЯ							1			1
	ООЯ							2			1
	Всего			1				1			4
Август	Без ущерба						1				1
Сентябрь	Без ущерба						1				1
Февраль—сентябрь	Без ущерба	13	7	8	10	1	3	10	12	9	10
	С ущербом	9	2	5	1			2	4	4	2
	ОЯ	6		1				1	3	1	3
	ООЯ	5	3	1	1			2	7	7	1
	Всего	33	12	15	12	1	3	15	26	21	15
									12		165

По положению барических образований на  $H_{500}$  можно различить четыре следующих типа полей в дни с разрушительными селевыми паводками:

1. Ультраполярная ложбина, ось которой западнее 60-го меридиана. В ложбине может быть циклон. Над центральными районами Средней Азии интенсивная высотная фронтальная зона ВФЗ.

2. Замкнутый циклонический вихрь на  $H_{500}$  над Устюром и западными районами Туркмении (центры циклонов расположены между 50° и 60° в. д. и 35° и 45° с. ш.). Над центральными районами интенсивная высотная фронтальная зона.

3. Циклон на  $H_{500}$  в районе Тахтабазара — Чарджоу.

4. Над Средней Азией планетарная высотная фронтальная зона (ПВФЗ) в западном или юго-западном направлениях.

Проведенный анализ синоптических процессов 33 случаев (дней) с селями, зарегистрированных в верховьях Зеравшана на территории Таджикистана, за 1950—1985 гг. показал следующее. Сели здесь проходят с марта по август, с наибольшей повторяемостью в мае и июле. Селеформирующие синоптические процессы в основном те же, что и для предгорий Ферганской долины. В марте — апреле основную роль в формировании селей играют выходы циклонов с юга и юго-запада с последующим западным вторжением или выходы этих циклонов под фронтальной зоной, окаймляющей высотные циклоны на  $H_{500}$  над центральными и восточными районами Средней Азии.

В мае — августе сели возникают при вторжениях с северо-запада и севера, холодные фронты расположены в передней части высотных ложбин над востоком Средней Азии или при высотных циклонах на 500 гПа, центры которых находятся восточнее 60° в. д.

Выше было показано, что селевые паводки в предгорьях долин рек Зеравшан и Санзар формируются в основном при западных и северо-западных вторжениях и высотных циклонах на  $H_{500}$  над западными и центральными районами Средней Азии. Для этих процессов на основе дискриминантного анализа получен метод прогноза селевой опасности в этом районе с заблаговременностью от 12 ч до 2 сут в зависимости от синоптического процесса.

Основные положения метода прогноза селевой опасности с привлечением аэросиноптических данных достаточно полно освещены в [4]. Прогноз селевой опасности в крупном селеактивном районе дается по дискриминантным функциям, полученным на основе статистического анализа и выбора физически обоснованных предикторов. Наиболее показательными для формирования селей оказались термогигрометрические характеристики теплых и холодных воздушных масс при вторжениях и значения температуры и влажности в передней части циклона при высотном циклогенезе над Средней Азией. Эти характеристики выбирались на стандартных изобарических поверхностях 850, 700 и 500 гПа.

Для прогноза селевой опасности в рассматриваемом районе получено несколько видов дискриминантной функции. Здесь приводится одна из них

$$V(x) = 4,28 - 0,123 \sum_{850}^{500} (T - Td)_{t.m} - 0,131 \sum_{850}^{500} (T - Td)_{x.m} + \\ + 0,24 T_{k_{850 t.m}} + 0,048 \sum_0^3 X_{uvl}, \quad (1)$$

где  $\sum_{850}^{500} T - Td$  — суммарный дефицит влажности в слое 850—500 гПа теплой воздушной массы перед фронтом (т. м) и холодной воздушной массы (х.м) за фронтом;  $T_{k_{850 t.m}}$  — температура конденсации воздуха перед фронтом сухоадиабатически поднимающегося с уровня 850 гПа до уровня конденсации;  $\sum_0^3 X_{uvl}$  — сумма осадков (максимальная из наблюденных в бассейне) за три дня, предшествующие формированию селевых паводков.

Пороговое значение  $R=0$ . Селевая опасность ожидается, если значение функции  $v(x)>0$ . На обучающей выборке оправдываемость прогнозов  $P=90\%$ , показатель успешности  $Q=0,82$ , критерий успешности метода по сравнению со случным прогнозом  $H=0,82$ . На независимой выборке соответственно  $P=87\%$ ,  $Q=0,82$ ,  $H=0,73$ . Помимо дискриминантных функций, прогноз селевой опасности можно составить по графику с двумя наиболее информативными предикторами. На рис. 1 дано графическое представление дискриминантной функции

$$V(x) = 2,039 + 0,37 T_{k_{850 t.m}} - 0,19 \sum_{850}^{500} (T - Td)_{x.m}. \quad (2)$$

Для разработки метода прогноза селевой опасности в предгорьях рек Зеравшан и Санзар при высотных циклонах на  $H_{500}$

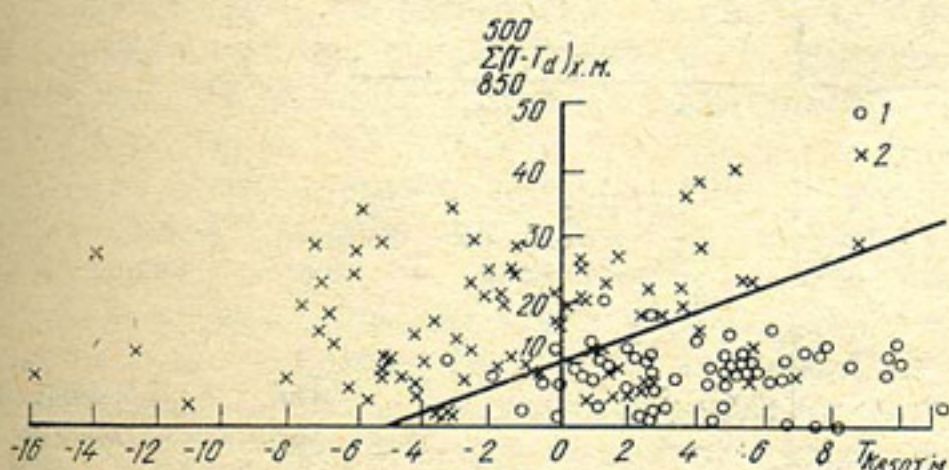


Рис. 1. Графическое представление дискриминантной функции (2) для прогноза селевой опасности при холодных вторжениях:

1 — случай с селями, 2 — случай без селей

был использован тот же набор предикторов, что и для предгорий Ферганской долины [4], только значения термогигрометрических характеристик воздушных масс выбирались по данным радиозондирующих станций, расположенных ближе к Зеравшанской долине, а именно Чарджоу или Ташкент.

Пошаговый перебор всех предикторов показал, что наибольшее влияние на образование селей оказывают следующие предикторы:  $T_{k_{850}}$  — температура конденсации водяных паров воздуха, поднимающихся с уровня 850 гПа до уровня конденсации;  $T_{500}$  — температура на изобарической поверхности 500 гПа;  $\Sigma T - T_d$  — суммарный дефицит точки росы в слое 850 — 500 гПа;  $\Delta H$  — разность геопотенциала в центре циклона и на его периферии. Все характеристики взяты в передней части циклона.

На основе выбранных информативных предикторов построена дискриминантная функция для прогноза селевой опасности при высотном циклогенезе

$$V(x) = 5,183 + 0,438 T_{k_{850}} + 0,277 T_{500} - 0,028 \sum_{850}^{500} (T - T_d) + 0,015 \Delta H, \quad (3)$$

где на зависимой выборке  $P=90\%$ ,  $Q=0,86$ ,  $H=0,80$ ; на независимой выборке  $P=80\%$ ,  $Q=0,75$ ,  $H=0,55$ . Заблаговременность прогноза 12 — 24 ч.

Прогноз селевой опасности при высотных циклонах можно давать также по графику (рис. 2), построенному на основании уравнения с двумя предикторами

$$V(x) = 4,059 + 0,499 T_{k_{850}} + 0,234 T_{500}. \quad (4)$$

Метод прогноза селевой опасности проходит производственные испытания в отделе гидропрогнозов Гидрометеорологического центра Узбекского УГКС. В 1986 г. оправдываемость прогнозов селевой опасности при холодных вторжениях составила 95%; из

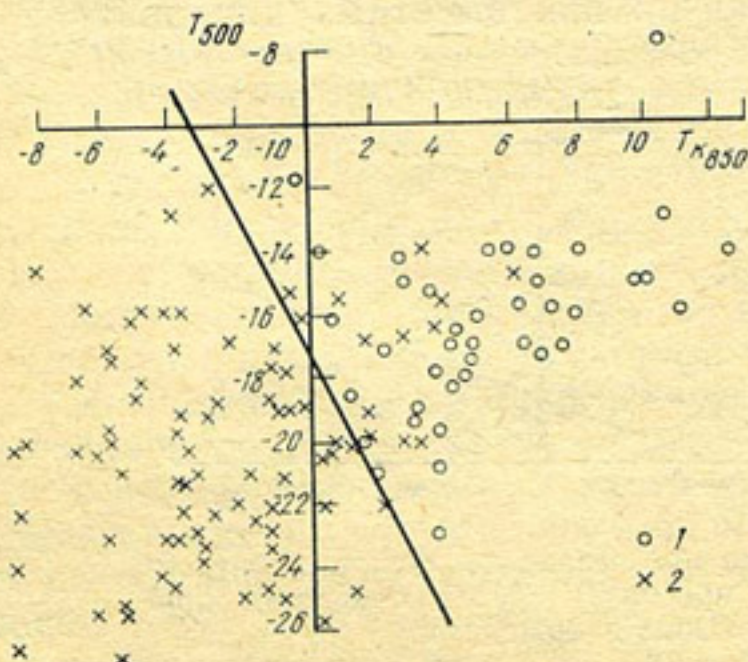


Рис. 2. Графическое представление дискриминантной функции (4) для прогноза селевой опасности при высотном циклогенезе над Средней Азией:  
1, 2 см. рис. 1

22 прогнозов не оправдался один. При высотном циклогенезе оправдываемость 70%, из 10 прогнозов не оправдалось три, причем в двух случаях были сильные осадки, но сообщений о селях не поступило.

## СПИСОК ЛИТЕРАТУРЫ

1. Бугаев В. А., Джорджио В. А. Синоптические процессы Средней Азии. — Ташкент: Изд-во АН УзССР, 1957. — 477 с.
2. Ляховская Л. Ф. Анализ физико-географических, метеорологических и синоптических условий распространения селей на территории Узбекистана. — Труды САНИИ Госкомгидромета, 1986, вып. 119(200), с. 65 — 71.
3. Салихова Д. Х. Аэросиноптические условия формирования разрушительных селевых паводков в предгорьях Ферганской долины. — Труды САНИИ Госкомгидромета, 1986, вып. 119(200), с. 72 — 74.
4. Салихова Д. Х., Ляховская Л. Ф. Метод прогноза селевой опасности в предгорьях Ферганской долины. — Труды САНИИ Госкомгидромета, 1986, вып. 119(200), с. 75 — 78.

Л. Ф. ЛЯХОВСКАЯ

## СЕЛЕВАЯ ОПАСНОСТЬ В ТАШКЕНТСКОЙ ОБЛАСТИ И ЕЕ КРАТКОСРОЧНЫЙ ПРОГНОЗ

Селеактивная зона Ташкентской области представлена предгорным и среднегорным районами бассейнов рек Чирчик (зона 1600—3100 м над ур. м.) и Ахангаран (зона 1200—2500 м).

Предгорья и горы Ташкентской области интенсивно осваиваются человеком: строятся гидроэлектростанции, развивается горнорудная промышленность, расширяется сеть спортивно-оздоровительных лагерей и зон отдыха трудящихся, строятся транспортные магистрали, широко развит туризм.

В селеопасных районах области проводятся активные противоселевые мероприятия — лесомелиоративные работы (например, в урочище Акташ), которые снижают опасность возникновения селей, но не ликвидируют ее полностью. В связи с этим необходим прогноз и своевременное предупреждение о селевой опасности, которые если не обеспечат полное предотвращение ущерба, то позволят принять меры для его сокращения.

Для решения поставленной задачи использовался архив данных о селях и селеформирующих факторах (суточная сумма осадков, среднесуточная и минимальная температуры воздуха, термо-гигрометрические характеристики воздушных масс над бассейном перед фронтом и за холодным фронтом) за период 1950—1985 гг.

Таким образом, с целью использования наиболее информативных предикторов для прогноза селевой опасности обобщены материалы наблюдений за тридцатишестилетний период. Всего за рассматриваемый период в Ташкентской области наблюдалось 76 селевых паводков, из которых 51 находится на бассейне р. Чирчик и 25 — на бассейне р. Ахангаран.